



دانشکده فنی مهندسی مکانیک

گروه مهندسی مکانیک

پایان نامه

جهت دریافت درجه کارشناسی ارشد در رشته مهندسی مکانیک گرایش طراحی کاربردی

عنوان

طراحی و شبیه سازی یک سیستم کنترلی برای ژیروسکوپ در ابعاد MEMS

استاد راهنما

دکتر احمد قنبری

استاد مشاور

دکتر جعفر کیقبادی

پژوهشگر

محمد رضا مقنی باویل علیائی

بهمن ماه ۱۳۹۰

بِسْمِ اللّٰهِ الرَّحْمٰنِ الرَّحِيْمِ  
الْحٰمِدُ لِلّٰهِ الْعَظِيْمِ

|  |   |
|--|---|
| نام: محمد رضا  | نام خانوادگی دانشجو: مقتنی باویل علیایی                       |
| عنوان پایان نامه:  | طراحی و شبیه سازی یک سیستم کنترلی برای ژیروسکوپ در ابعاد MEMS |
| استاد راهنما:  | آقای دکتر احمد قنبری  |
| استاد مشاور:   | آقای دکتر جعفر کیقبادی  |
| مقطع تحصیلی: کارشناسی ارشد<br>دانشگاه: تبریز   | رشته: مهندسی مکانیک<br>تاریخ فراغت از تحصیل: ۹۰/۱۱/۱۸         |
| کلید واژه‌ها: ژیروسکوپ MEMS، کنترل مود لغزشی، کنترل فازی، تخمین پارامتر  |   |
| <b>چکیده:</b><br><p>ژیروسکوپها از دیرباز نقش بسیار مهمی را در جهتیابی و اندازه‌گیری سرعت زاویه‌ای در جهات گوناگون، در صنایع مختلف بر عهده داشته‌اند. با توجه به پیشرفت سریع علوم و فناوریهای نوین و توسعه صنایع مختلف، استفاده از وسایل جدید برای اندازه‌گیری با دقت بالا در جهات مختلف برای خودروها و هواپیماها امری ضروری است.</p> <p>از پیدایش اولین ژیروسکوپ میکرو الکترومکانیکی بیش از دو دهه نمی‌گذرد، اما ویژگی‌های بارز این نوع ژیروسکوپ اعم از عدم نیاز به یاتاقان و در نتیجه اصطکاک، سایش و اتلاف انرژی کمتر، قیمت ارزان، مصرف توان پایین و دقت و سرعت بالا، آن را در بسیاری از موارد نسبت به ژیروسکوپهای مرسوم رجحان داده است. با این حال، به دلیل وجود عیوب در ساخت آن، خطاهای ناشی از تغییرات دما و نویزهای گوناگون، خطاهایی در نتایج عملکرد ژیروسکوپ میکرو الکترومکانیکی وجود دارند. در این میان هر طرح کنترلی که در کمترین زمان و با دقت و کارایی بهتری بتواند عملکرد ژیروسکوپ را کنترل کند، مطلوب است.</p> <p>در این پایان نامه، پس از مطالعه ادبیات فن (پیشینه پژوهش کار دیگران)، دینامیک ژیروسکوپ در ابعاد MEMS مورد بررسی قرار خواهد گرفت. سپس یک سیستم کنترلی برای ژیروسکوپ در ابعاد MEMS طراحی و ارائه خواهد شد. کنترل ارائه شده برای ژیروسکوپ با استی تخمین سرعت زاویه‌ای و (در صورت امکان) همه پارامترهای نامعلوم ژیروسکوپ شامل جفت شدگی‌های سفتی و میرایی را انجام دهد. شبیه سازی‌های عددی با استفاده از یک نرم افزار مهندسی (ترجیحا MATLAB) انجام خواهد شد.</p> |   |

تعدیم پزشکی

درو مادر عزیزم

## فهرست مطالب

| عنوان                  | صفحه |
|------------------------|------|
| فهرست جداول            | ۵    |
| فهرست اشکال و نمودارها | ۵    |
| فهرست کلمات اختصاری    | ۷    |
| مقدمه                  | ۸    |

### فصل اول: بررسی منابع (پایه‌های نظری و پیشینه پژوهش)

|    |   |
|----|---|
| ۱  | مقدمه   |
| ۱  | ۱- ژیروسکوپ   |
| ۴  | ۱-۲ فناوری سیستمهای میکرو الکترومکانیکی                           |
| ۶  | ۱-۳ ژیروسکوپهای میکرو الکترومکانیکی                               |
| ۶  | ۱-۳-۱ کاربردها  |
| ۹  | ۱-۳-۲ ژیروسکوپهای ارتعاشی میکرو الکترومکانیکی                     |
| ۱۱ | ۱-۴ بررسی ادبیات فن در کنترل ژیروسکوپ ارتعاشی میکرو الکترومکانیکی |
| ۱۲ | ۱-۴-۱ نویز و کنترل  |

|                              |  |
|------------------------------|--|
| ۱۲ .....                     | ۲-۴-۱ کارکرد حلقه باز                        |
| ۱۳ .....                     | ۳-۴-۱ کنترل نیرو-بالانس                      |
| ۱۵ .....                     | ۴-۴-۱ کنترل تطبیقی                           |
| ۱۶ .....                     | ۴-۴-۱ کنترل مود لغزشی فازی تطبیقی            |
| ۲۱ .....                     | ۱-۵ هدف از تحقیق و بیان مساله                |
| ۲۴ .....                     | ۱-۶ سهم عمدۀ پایان نامه                      |
| ۲۴ .....                     | ۱-۷ ساختار پایان نامه                        |
| <b>فصل دوم: مواد و روشها</b> |  |
| ۲۷ .....                     | مقدمه  |
| ۲۸ .....                     | ۱-۲ مدلسازی و دینامیک ژیروسکوپ ارتعاشی MEMS  |
| ۳۴ .....                     | ۲-۲ استنتاج معادلات فضای حالت و فرضیات مسئله |
| ۳۷ .....                     | ۳-۲ طراحی کنترل کننده مود لغزشی تطبیقی       |
| ۴۲ .....                     | ۴-۲ طراحی کنترل کننده منطق فازی              |
| ۴۹ .....                     | ۵-۲ شبیه‌سازی عددی                           |

## فصل سوم: بحث و نتیجه گیری

|           |                                   |
|-----------|-----------------------------------|
| ۵۶ .....  | مقدمه                             |
| ۵۶ .....  | ۱-۳ نتایج شبیه‌سازی عددی          |
| ۶۲ .....  | ۲-۳ نتیجه گیری                    |
| ۶۲ .....  | ۳-۳ پیشنهادها و کارهای آتی        |
| ۶۴ .....  | مراجع                             |
| ۷۰ .....  | پیوست الف- پدیده پایداری لیاپانوف |
| ۷۷ .....  | پیوست ب- کنترل تطبیقی             |
| ۸۲ .....  | پیوست ج- کنترل مود لغزشی          |
| ۸۸ .....  | پیوست د- کنترل منطق فازی          |
| ۱۰۸ ..... | مقالات انتشار یافته               |
|           | چکیده انگلیسی                     |
|           | صفحه عنوان انگلیسی                |

## فهرست جداول

| عنوان                              | صفحه |
|------------------------------------|------|
| جدول ۱-۲: پایگاه قوانین AFSMC      | ۴۹   |
| جدول ۲-۲: پارامترهای ژیروسکوپ MEMS | ۵۱   |

# فهرست اشکال و نمودارها

| عنوان   | صفحه |
|---|------|
| شکل ۱-۱: ژیروسکوپ گیمبال  | ۲    |
| شکل ۱-۲: یک ویفر  | ۵    |
| شکل ۱-۳: کاربردهای تجاری میکرو ماشینکاری سطحی   | ۵    |
| شکل ۱-۴: محدوده کاربرد تکنولوژی ژیروسکوپهای امروزی  | ۷    |
| شکل ۱-۵: کاربرد در خودروسازی  | ۸    |
| شکل ۱-۶: (الف) یک طراحی ژیروسکوپ نوع اول (ب) تصویر SEM یک ژیروسکوپ نوع اول                | ۱۰   |
| شکل ۱-۷: (الف) یک طراحی از ژیروسکوپ نوع دوم (ب) تصویر SEM یک ژیروسکوپ نوع دوم بدون تشديد. | ۱۰   |
| شکل ۱-۸: دیاگرام بلوکی سیستم کنترل مود لغزشی فازی تطبیقی                                  | ۲۱   |
| شکل ۱-۹: ساختار کلی کنترل کننده   | ۲۷   |
| شکل ۲-۱: مدل دینامیکی ژیروسکوپ MEMS محور Z  | ۲۹   |
| شکل ۲-۲: نمایش شماتیک دستگاه ژیروسکوپ چرخان نسبت به دستگاه اینرسی                         | ۳۰   |
| شکل ۲-۳: نمایش بردار موقعیت نسبت به دستگاه اینرسی A و دستگاه چرخان B                      | ۳۱   |
| شکل ۲-۴: توابع سویچینگ (الف) مود لغزشی (ب) مود لغزشی با لایه مرزی (ج) مود لغزشی فازی      | ۴۵   |
| شکل ۲-۵: تابع عضویت متغیر ورودی s   | ۴۷   |
| شکل ۲-۶: تابع عضویت متغیر ورودی sdot  | ۴۷   |
| شکل ۲-۷: تابع عضویت متغیر خروجی uf  | ۴۸   |
| شکل ۲-۸: سطح کنترل فازی برای کنترل کننده طراحی شده  | ۵۰   |

|  |    |
|--|----|
| ..... شکل ۱۰-۲: نمودار شبیه سازی شده در MATLAB/SIMULINK                                  | ۵۲ |
| ..... شکل ۱۱-۲: زیرسیستم مدل دینامیکی ژیروسکوپ MEMS                                      | ۵۳ |
| ..... شکل ۱۲-۲: زیرسیستم تخمینگر تطبیقی  | ۵۴ |
| ..... شکل ۱۳-۲: زیرسیستم کنترل معادل مود لغزشی   | ۵۴ |
| ..... شکل ۱۴-۲: زیرسیستم سطح لغزشی   | ۵۵ |
| ..... شکل ۱۵-۲: زیرسیستم موتور استنتاج فازی AFSMC  | ۵۵ |
| ..... شکل ۱-۳: خطاهای تعقیب با استفاده از کنترلر مود لغزشی-فازی-تطبیقی در جهات $x$ و $y$ | ۵۷ |
| ..... شکل ۲-۳: تخمین سرعت زاویه‌ای با استفاده از کنترلر AFSMC و ASMC                     | ۵۸ |
| ..... شکل ۳-۳: سطوح لغزشی کننده AFSMC  | ۵۹ |
| ..... شکل ۴-۳: حاصل ضرب سطح لغزشی در نرخ آن  | ۵۹ |
| ..... شکل ۵-۳: نیروی کنترلی کننده ASMC   | ۶۰ |
| ..... شکل ۶-۳: نیروی کنترلی کننده AFSMC  | ۶۱ |
| ..... شکل ۷-۳: تخمین پارامترها با کنترل کننده AFSMC                                      | ۶۲ |
| ..... شکل الف-۱: حالات تعادل و مسیرهای نمایشگر   | ۷۴ |
| ..... شکل الف-۲: توابع لیاپانوف با مشتقهای منفی متفاوت                                   | ۷۷ |
| ..... شکل ب-۱: دیاگرام بلوکی یک سیستم کنترل تطبیقی                                       | ۸۰ |
| ..... شکل ج-۱: نمودار گرافیکی از کنترل مود لغزشی   | ۸۴ |
| ..... شکل ج-۲: پدیده چترینگ یا ارتعاشات فرکانس بالا حول سطح لغزشی $s=0$                  | ۸۷ |
| ..... شکل ج-۳: فرایندهای همگرایی در کنترل مود لغزشی                                      | ۸۸ |
| ..... شکل د-۱: اعمال اصلی روی مجموعه فازی  | ۹۲ |
| ..... شکل د-۲: یک فرایند تصمیم گیری فازی ساده  | ۹۶ |

شکل د-۳: ساختار کلی یک کنترل کننده منطق فازی ..... ۹۷

شکل د-۴: پردازش منطق فازی در FLC ..... ۹۹

شکل د-۵: فرایند فازی‌سازی ..... ۹۹

شکل د-۶: فرایند تصمیم‌گیری فازی (ارزیابی قانون) ..... ۱۰۱

شکل د-۷: فرایند تصمیم‌گیری (ارزیابی قانون) در FLC ..... ۱۰۳

شکل د-۸: فرایند نافازی‌سازی ..... ۱۰۴

## فهرست کلمات اختصاری، علائم و نشانه‌ها

|   |                                      |
|---|--------------------------------------|
| Hemispherical Resonator Gyroscope (HRG)     | ژیروسکوپ تشدید کننده نیمکره‌ای       |
| Tuning-Fork Gyroscope (TFG)                 | ژیروسکوپ دوشاخه‌ای                   |
| Fiber-Optic Gyroscope (FOG)                 | ژیروسکوپهای فایبر اپتیک              |
| Ring Laser Gyroscope (RLG)                  | ژیروسکوپهای رینگ لیزر                |
| Micro Electro Mechanical System (MEMS)      | سیستم میکرو الکترومکانیکی            |
| Inertial Navigation System (INS)            | سیستم ناوبری اینرسی                  |
| Global Positioning System (GPS)             | سیستم موقعیت‌یاب جهانی               |
| Micromachined Vibratory Gyroscope (MVG)     | ژیروسکوپ ارتعاشی میکرو الکترومکانیکی |
| Sliding Mode Control (SMC)                  | کنترل مود لغزشی                      |
| Generalized modus ponens (GMP)              | روش تعمیم یافته پونز                 |
| Generalized modus tollens (GMT)             | روش تعمیم یافته تولنز                |
| Fuzzy Logic Control (FLC)                   | کنترل منطق فازی                      |
| Zero Rate Output (ZRO)                      | خروجی در نرخ صفر                     |
| Phase Locked Loop (PLL)                     | حلقه فاز قفل شده                     |
| Multi-Input Multi-Output (MIMO)             | چند ورودی چند خروجی                  |
| Adaptive Force-Balancing Control (AFBC)     | سیستم کنترل نیرو-بالانسینگ تطبیقی    |
| Adaptive Fuzzy Sliding Mode Control (AFSMC) | کنترل مود لغزشی فازی تطبیقی          |

## مقدمه

ژیروسکوپها از دیرباز نقش بسیار مهمی را در جهتیابی و اندازه‌گیری سرعت زاویه‌ای در جهات گوناگون، در صنایع مختلف بر عهده داشته‌اند. با توجه به پیشرفت سریع علوم و فناوریهای نوین و توسعه صنایع مختلف، استفاده از وسایل جدید برای اندازه‌گیری‌با دقت بالا در جهات مختلف برای خودروها و هواپیماها امری ضروری است.

از پیدایش اولین ژیروسکوپ میکرو الکترومکانیکی بیش از دو دهه نمی‌گذرد، اما ویژگی‌های بارز این نوع ژیروسکوپ اعم از عدم نیاز به یاتاقان و در نتیجه اصطکاک، سایش و اتلاف انرژی کمتر، قیمت ارزان، مصرف توان پایین و دقت و سرعت بالا، آن را در بسیاری از موارد نسبت به ژیروسکوپهای مرسوم رجحان داده است. با این حال، به دلیل وجود عیوب در ساخت آن، خطاهای ناشی از تغییرات دما و نویزهای گوناگون، خطاهایی در نتایج عملکرد ژیروسکوپ میکرو الکترومکانیکی وجود دارند. در این میان هر طرح کنترلی که در کمترین زمان و با دقت و کارایی بهتری بتواند عملکرد ژیروسکوپ را کنترل کند، گوی سبقت را از دیگران خواهد رぼد.

در این پایاننامه، ابتدا در فصل اول به بررسی منابع و مطالعه ادبیات فن در ارتباط با ژیروسکوپ میکرو الکترومکانیکی می‌پردازیم و نقاط ضعف و قوت هر روش کنترلی را ذکر می‌کنیم. سپس در فصل دوم معادلات دینامیکی را از روی مدل ژیروسکوپ ارتعاشی میکرو الکترومکانیکی بدست آورده و سپس براساس پیشینه پژوهش صورت گرفته یک کنترل‌کننده پیشرفته‌ی هوشمند با عنوان کنترل‌کننده مود لغزشی فازی تطبیقی طراحی و شبیه سازی می‌شود. در فصل سوم نتایج حاصل از شبیه سازی کنترل‌کننده طراحی شده روی مدل دینامیکی ژیروسکوپ ارائه و تحلیل می‌شوند.

# فصل اول: بررسی منابع

## (پایه‌های نظری و پیشینه پژوهش)

## فصل اول

### بررسی منابع (پایه‌های نظری و پیشینه پژوهش)

#### مقدمه

در این فصل، ابتدا ژیروسکوپ، فرایнд میکرو ماشینکاری و فناوری میکرو الکترومکانیکی<sup>۱</sup> به طور خلاصه تشریح می‌شوند. سپس انواع ژیروسکوپهای میکرو ماشینکاری شده، طبقه‌بندی و ارائه شده و کاربردهای ژیروسکوپ میکرو الکترومکانیکی را در صنعت و فناوری ذکر می‌کنیم. در قسمت ۱-۵ به بررسی پژوهش‌های انجام یافته در کنترل ژیروسکوپ ارتعاشی میکرو الکترومکانیکی می‌پردازیم. در قسمت ۱-۶ به هدف از تحقیق و بیان مسئله پرداخته می‌شود. در نهایت در قسمت ۱-۷ سهم عمدۀ پایان نامه مطرح شده و ساختار پایان نامه در قسمت ۱-۸ تشریح خواهد شد.

#### ۱-۱ ژیروسکوپ

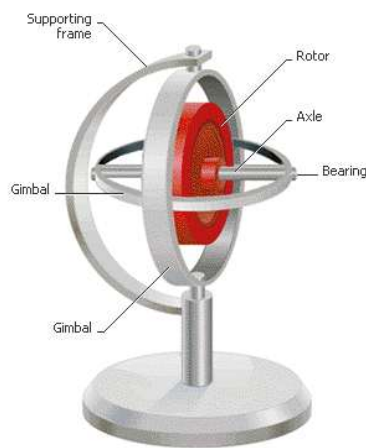
کلمه ژیروسکوپ<sup>۲</sup>، برای اولین بار در سال ۱۸۵۲ توسط دانشمند فرانسوی به نام فوکالت<sup>۳</sup> ابداع شد. این کلمه ترکیبی از دو کلمه یونانی "gyros" به معنی چرخش و "skopien" به معنی «دیدن» است. بنابراین، یک ژیروسکوپ دستگاهی برای مشاهده چرخش است. اولین ژیروسکوپ، یک پاندول نوسانی بود که توسط فوکالت برای اثبات چرخش زمین ساخته شد و اولین مثال از ژیروسکوپ برای اندازه‌گیری زاویه مطلق بود [۱]. در طول قرن گذشته، ژیروسکوپ پیشرفتی یک سری فرایندهای تکاملی را پشت سر گذاشته تا به ژیروسکوپهای موجود امروزی رسیده است. سابقه استفاده از ژیروسکوپها در کشتیرانی به اوایل قرن بیستم برمی‌گردد، زمانی که

<sup>1</sup> Micro-Electro-Mechanical Systems

<sup>2</sup> Gyroscope

<sup>3</sup> Foucault

ژیروکامپس‌های<sup>۴</sup> اختراع شده توسط المرا اسپری<sup>۵</sup>، توسط دریانوردان برای هدایت کشتی در دریاهای آزاد استفاده شدند. در مقابل پاندولهای نوسانی، اولین ماکرو ژیروسکوپها دیسکهای بزرگ چرخانی بودند که به عنوان مراجع اینرسی به کار می‌رفتند و به وسیله آنها حالتهای تعیین می‌شدند. در دهه ۱۹۵۰، ژیروسکوپ گیمبال<sup>۶</sup> و سیستمهای شتاب‌سنج برای احساس حرکت با شش درجه آزادی در سیستمهای هواپیما به کار رفتند [۲]. در این زمان، شرکت اسپری یکی از اولین ژیروسکوپهای نرخ زاویه‌ای را ساخت، که یک طراحی براساس پاسخ شاخه‌های یک دوشاخه‌ی<sup>۷</sup> مرتعش در مقیاس بزرگ به چرخشهای زاویه‌ای بود. به خاطر پیچیدگی و هزینه ساخت یک سیستم مرجع با حالت گیمبال، ایده سیستمهای چسبان (متصل)<sup>۸</sup>، در دهه ۱۹۷۰ رواج یافت [۳].



شکل ۱-۱: ژیروسکوپ گیمبال

<sup>۴</sup> نوعی قطب‌نما که همواره شمال حقیقی را نشان می‌دهد (gyrocompasses)

<sup>5</sup> Elmer Sperry

<sup>6</sup> اسبابی که برای ترازنگه داشتن قطب‌نما و ژیروسکوپ به کار می‌رود. (gimbal)

<sup>7</sup> Tuning Fork

<sup>8</sup> Strapdown

بعد از کاربرد موفقیت آمیز ژیروسکوپ در هواپیماه، کارشناسان طراحی فضایی‌ها از ژیروسکوپ برای جهت‌یابی در فضا استفاده کردند، زیرا جهت‌یابی در فضا کار ساده‌ای نبود و بایستی ابتدا دماغه فضایی‌ها با زاویه‌ی خاصی وارد جو زمین می‌شد. کارکرد ژیروسکوپ به صورت است که صفحه نگهدارنده ژیروسکوپ به همه طرف می‌چرخد ولی چرخ آن ثابت می‌ماند و سوزن تنها یک جهت ثابت را نشان می‌دهد. در واقع فضایی‌ها به هر طرف که بچرخد ژیروسکوپ همیشه همان جهتی را که باید نشان بدهد نشان می‌دهد. عملکرد ژیروسکوپ ربطی به میدان جاذبه یا میدان مغناطیسی زمان ندارد، بنابراین می‌توانستند از آن برای مرجع جهت‌یابی استفاده کنند.

همانگونه که گفته شد، ژیروسکوپهای اولیه، مانند ژیروسکوپ اسپری، و بسیاری از ژیروسکوپهای پیشرفت‌هه، از یک چرخ مومنتوم چرخان متصل به سازه گیمبال استفاده می‌کنند. با وجود این، این ژیروسکوپهای معايب زیادی، عمدتاً مربوط به اصطکاک غلتشی (یاتاقانی) و سایش، دارند. ژیروسکوپهای ارتعاشی، مانند ژیروسکوپ تشدیدگر نیمکرهای<sup>۹</sup> و ژیروسکوپ دوشاخه‌ای<sup>۱۰</sup>، راه حلی موثر برای مسائل یاتاقان و حذف قسمتهای چرخان ارائه می‌دهند

.[۳]

همچنین، دیگر تکنولوژی‌های با بازدهی بالا، مانند ژیروسکوپهای فایبر اپتیک<sup>۱۱</sup> و ژیروسکوپهای رینگ لیزر<sup>۱۲</sup> براساس اثر ساگناک توسعه یافته‌اند. با حذف مجازی همه محدودیتهای مکانیکی مانند ارتعاش، حساسیت به ضربه و اصطکاک، این ژیروسکوپهای اپتیکی کاربردهای زیادی با وجود هزینه‌های بالایشان پیدا کرده‌اند.

<sup>۹</sup> Hemispherical Resonator Gyroscope (HRG)

<sup>۱۰</sup> Tuning-Fork Gyroscope (TFG)

<sup>۱۱</sup> Fiber-Optic Gyroscope (FOG)

<sup>۱۲</sup> Ring Laser Gyroscope (RLG)

## ۲-۱ فناوری سیستم‌های میکرو الکترومکانیکی

همانگونه که از خود کلمه بر می‌آید، سیستم‌های میکرو الکترومکانیکی فناوری‌ای است که سیستم‌های الکتریکی و مکانیکی را در مقیاس میکرو با هم ترکیب می‌کند. به طور عملی، هر دستگاهی که با استفاده از تکنیک‌هایی که اساس آنها فوتو-لیتوگرافی در مقیاس میکرومتر بوده و از هر دوی توابع الکتریکی و مکانیکی استفاده بکند، می‌تواند تحت عنوان سیستم‌های میکرو الکترومکانیکی مورد ملاحظه قرار گیرد. سیستم‌های میکرو الکترومکانیکی عموماً به دستگاه‌هایی اطلاق می‌شود که در مقیاس میلی‌متر بوده و دارای دقت در مقیاس میکرو هستند.

همانگونه که از فناوری‌های ساخت نیمه‌هادی‌ها نتیجه شده است، اساسی‌ترین خصوصیت فناوری سیستم‌های میکرو الکترومکانیکی این است که در آنها امکان ساخت میکرو-ساختارهای متحرک روی یک زیرلایه فراهم می‌شود. در واقع، سیستم‌های میکرو الکترومکانیکی تلفیق المان‌های مکانیکی، حساسه‌ها، محرکه‌ها، و الکترونیک بر روی یک زیرلایه سیلیکونی معمولی با بهره‌گیری از فناوری ساخت میکرو<sup>۱۳</sup> است. با وجود این توانایی سیستم‌های مکانیکی و الکتریکی بی‌نهایت پیچیده می‌توانند ایجاد شوند. جرمها، خمیدگی‌ها، محرکه‌ها، ردیابها، اهرمهای اتصالات، دندوهای، میراگرها و بسیاری دیگر از کنده‌ساختهای<sup>۱۴</sup> تابعی را می‌توان برای ساخت سیستم‌های کاملاً پیچیده بر روی یک تراشه با هم ترکیب کرد. حساسه‌های اینرسی<sup>۱۵</sup> مانند شتاب‌سنج‌ها و ژیروسکوپ‌ها از این قابلیت برای کامل کردن خود استفاده می‌کنند. همچنین، از آنجاییکه یک سیستم کامل بر روی یک تراشه می‌تواند واقعیت پیدا کند، سیستم‌های میکرو الکترومکانیکی نوید این را می‌دهند تا با دسته‌جات وسیعی از تولیدات همکاری داشته باشند [۴].

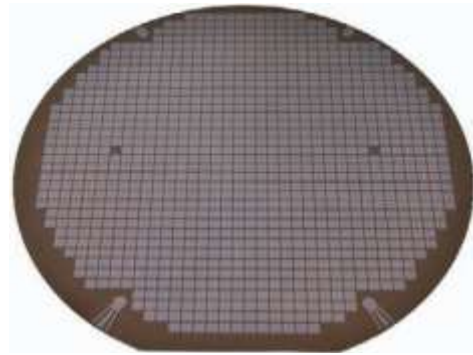
روشهای انتقال الگو، با اساس فوتو-لیتوگرافی، و الگوسازی متوالی لایه‌های ساختاری نازک، گرفته شده از فرایندهای ساخت IC استاندارد، فناوری‌های توانمند بعد از میکرو ماشینکاری هستند. با کوچک کردن و طی فرایند بچ<sup>۱۶</sup> سیستم‌های الکترومکانیکی کامل، کاهش ذاتی در اندازه، وزن و هزینه وسیله قابل دستیابی است.

<sup>13</sup> Micro-Fabrication

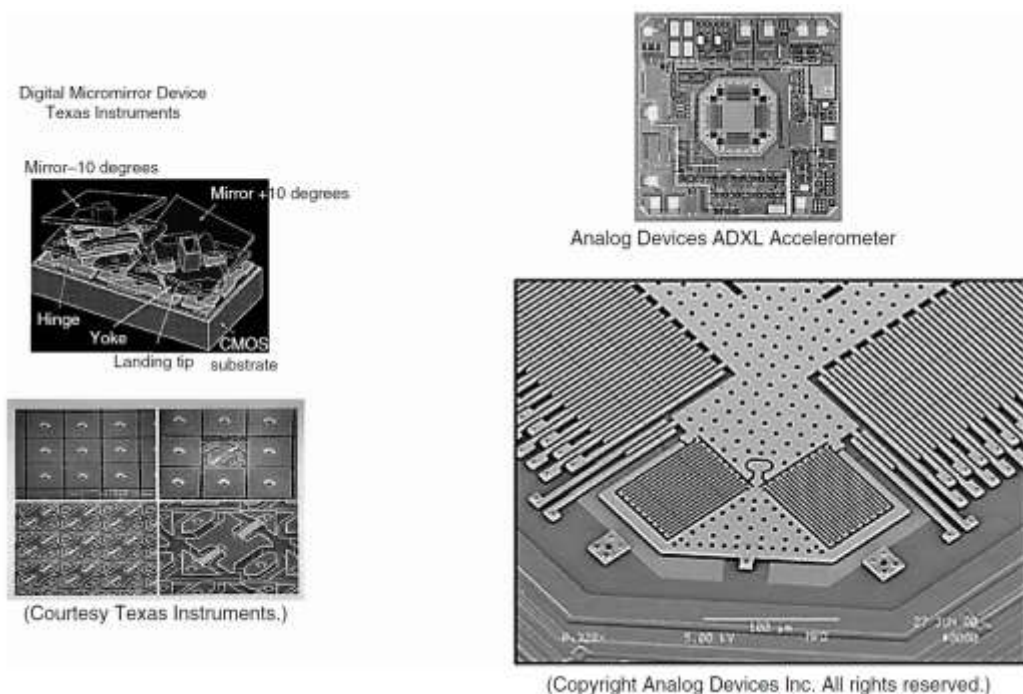
<sup>14</sup> Building Block

<sup>15</sup> Inertial Sensors

<sup>16</sup> Batch Processing



شکل ۱-۲: یک ویفر<sup>۱۷</sup> ۱۵۰ میلیمتری از نمونه اولیه یک ژیروسکوپ. در یک فرایند تولید متداول، معمولاً بیش از ۲۰۰۰ وسیله<sup>۱۸</sup> بر روی یک ویفر ۱۵۰ میلیمتری وجود دارد [۱]



شکل ۳-۱: کاربردهای تجاری میکرو ماشینکاری سطحی [۴]

<sup>17</sup> Wafer

<sup>18</sup> Device

### ۳-۱ ژیروسکوپهای میکرو الکترومکانیکی

همانگونه که گفته شد، ژیروسکوپها برای اندازه‌گیری چرخش زاویه‌ای در بسیاری از کاربردها مورد استفاده قرار می‌گیرند. در سرعتهای بالا، ژیروسکوپها پایداری فوق العاده‌ای به تعادل از خود نشان می‌دهند و جهت محور چرخش سرعت بالای روتور مرکزیش را نگه می‌دارد. در چندین دهه گذشته، ژیروسکوپهای متفاوت زیادی توسعه یافته‌اند. گرچه چرخ گردان مرسوم، ژیروسکوپهای فایبر اپتیک و رینگ لیزر، کاربردهای دقیق بالا را به خود اختصاص داده اند، اما، این ژیروسکوپها بزرگ بوده و اغلب خیلی گران هستند، به طوریکه نمی‌توان از آنها در بسیاری از کاربردهای نوین استفاده کرد.

پیشرفت‌های اخیر در فناوری میکرو ماشینکاری، طراحی و ساخت ژیروسکوپهای میکرو الکترومکانیکی را ممکن کرده است. یک ژیروسکوپ میکرو الکترومکانیکی نوعی حسگر برای اندازه‌گیری نرخ زاویه است، که اندازه آن چندین مرتبه کوچکتر از ژیروسکوپهای مکانیکی است. ژیروسکوپهای میکرو الکترومکانیکی می‌توانند به تعداد زیادی توسط فرایند بج ساخته شوند. در مقایسه با ژیروسکوپهای مکانیکی، این ژیروسکوپها ارزان، کوچک و سبک بوده و در زمینه ابزارهای اینرسی<sup>۱۹</sup> قابلیت کاربرد دارند [۵].

### ۱-۳-۱ کاربردها

همانگونه که در شکل ۱-۴ نشان داده است، مشخصات بازدهی ژیروسکوپهای با درجه ناوبری در مقایسه با ناوبری اینرسی و پایدارسازی سکو امروزه فقط با ژیروسکوپهای مکانیکی بالک و ژیروسکوپهای اپتیکی قابل دستیابی هستند. ژیروسکوپهای MEMS، با عنوان ژیروسکوپهای نرخ و انتگرالگیری در شکل ۱-۴ آورده شده‌اند.

<sup>19</sup> Inertial Instruments